

# Résistance des matériaux



## Introduction

Définitions, hypothèses

Torseurs des efforts intérieurs

Principe d'équivalence

Moments d'une aire, moments statiques,  
moments d'inertie



## Traction et Compression

Bernoulli, St-Venant

Variation de températures

Pression interne

Force centrifuge

Influence du poids propre

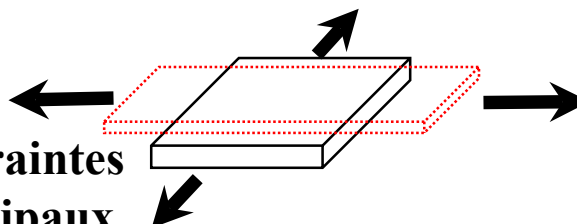
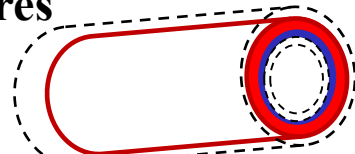
Etat de contraintes

Cercle de Mohr

Energie de déformation

Etat bidimensionnel des contraintes

Axes et cercles de Mohr principaux



# Traction et compression

1) simples

2) engendrées par des causes indirectes

- *Solides prismatiques*
- *Hypothèse de Bernoulli*: Une section plane reste plane après déformation
- *Principe de St-Venant*: En traction la contrainte est constante sur la section uniquement si la force est uniformément appliquée ou si la section est suffisamment éloignée du point d'application de la force
- Les tests principaux sur les matériaux pour les mesures des contraintes, déformations et modules

# Traction et compression simples

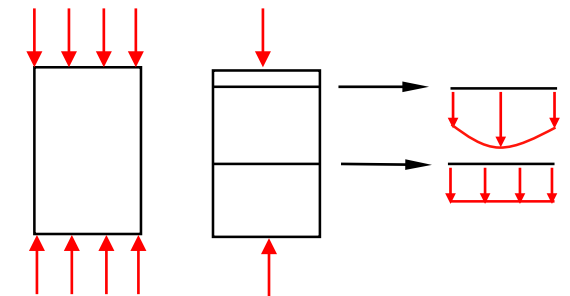
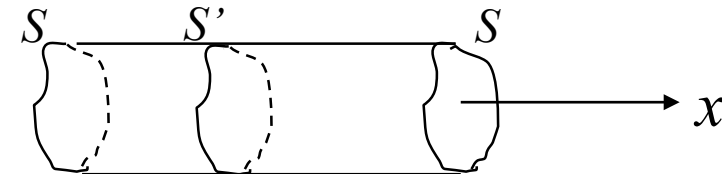
- $(H)$  : Solides prismatiques  $\equiv$  la section normale  $S$  est invariable selon  $x$
- $(H)$  :  $S'$  après déformation est déduite par simple translation de  $S$  (*Bernoulli ok*)

$\Rightarrow$  Distribution uniforme de  $\sigma$

$$\Rightarrow N = \sigma \iint_s dS = \sigma \cdot S \rightarrow \sigma = \frac{N}{S}$$

$\Rightarrow$  Pas de déplacement de  $S$  selon  $y$  ou  $z$

$$\Rightarrow \tau_y \text{ et } \tau_z = 0$$



- En réalité  $\sigma$  est uniforme que sur les sections assez loin du point d'application de la force ou que si la force est distribuée uniformément (*St Venant ok*)

# Tests sur les matériaux

## Contraintes

$$\sigma = \frac{F}{S_0}$$

$$\sigma_{réelle} = \frac{F}{S_{réelle}}$$

$$\sigma_{0,02} = \sigma \quad \text{à} \quad \varepsilon = 0,02\%$$

$$\sigma_{0,2} = \sigma \quad \text{à} \quad \varepsilon = 0,2\% \quad \text{si seuil d'écoulement pas marqué}$$

## Modules

$$E = \frac{\sigma}{\varepsilon}$$

$$E_{Am} = \frac{\sigma_A}{\varepsilon_A}$$

$$E_{At} = \left. \frac{d\sigma}{d\varepsilon} \right|_A$$

$$E_{AB} = \frac{\sigma_B - \sigma_A}{\varepsilon_B - \varepsilon_A}$$

## Déformations

$$\varepsilon = \frac{\Delta L}{L_0}$$

$$\varepsilon_t = -\nu \varepsilon_l = -\nu \frac{\sigma}{E}$$

## Coefficient de Poisson

0,2 fonte

0,3 acier

0,5 caoutchouc

$\nu \leq 0,5$  car le volume ne diminue pas

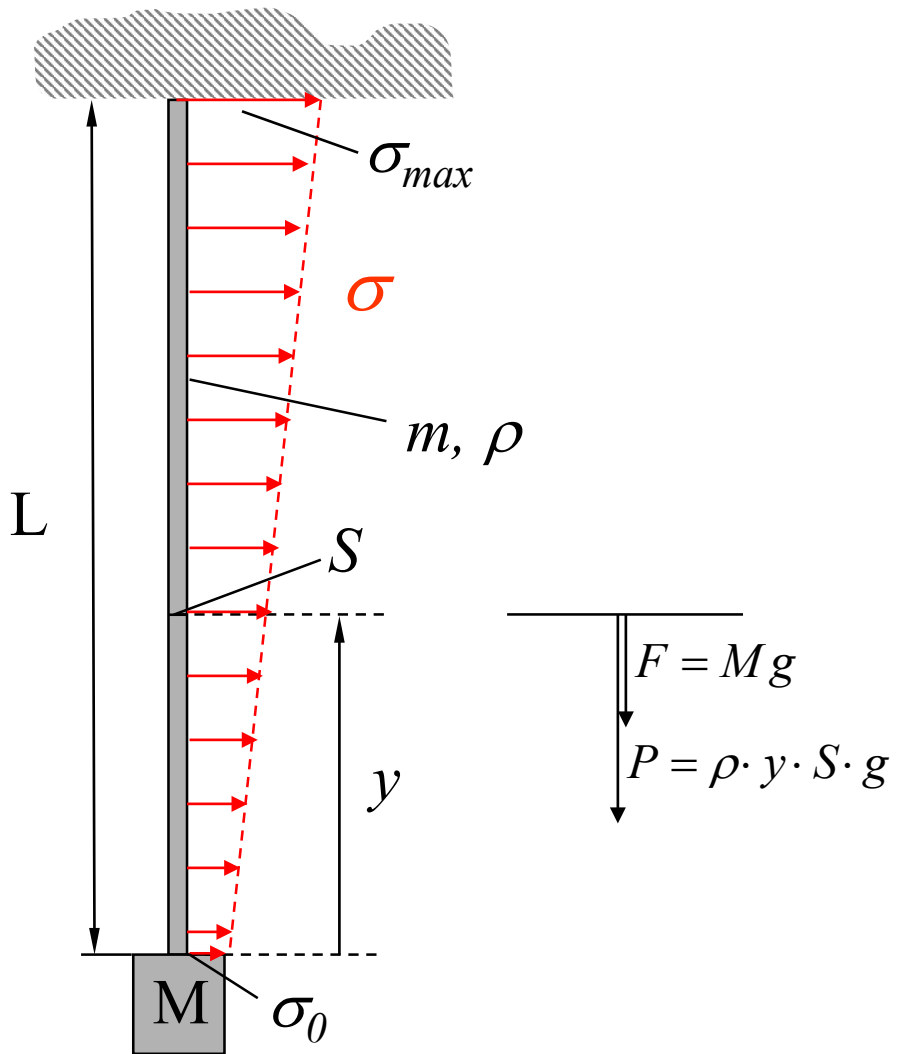


si anisotropie

$\nu_t \neq \nu_l$

# Tensions dues au poids propre

5



$$\sigma_y = \frac{Mg + \rho y S g}{S}$$

$$\sigma_y = \underbrace{\frac{Mg}{S}}_{\sigma_0} + \rho gy = \sigma_0 + \rho gy$$

$$\sigma_{max} = \frac{Mg}{S} + \rho g L$$

$S$  pour  $\sigma_{max} \approx \sigma_{admissible du matériau} = \sigma_{rupture}$

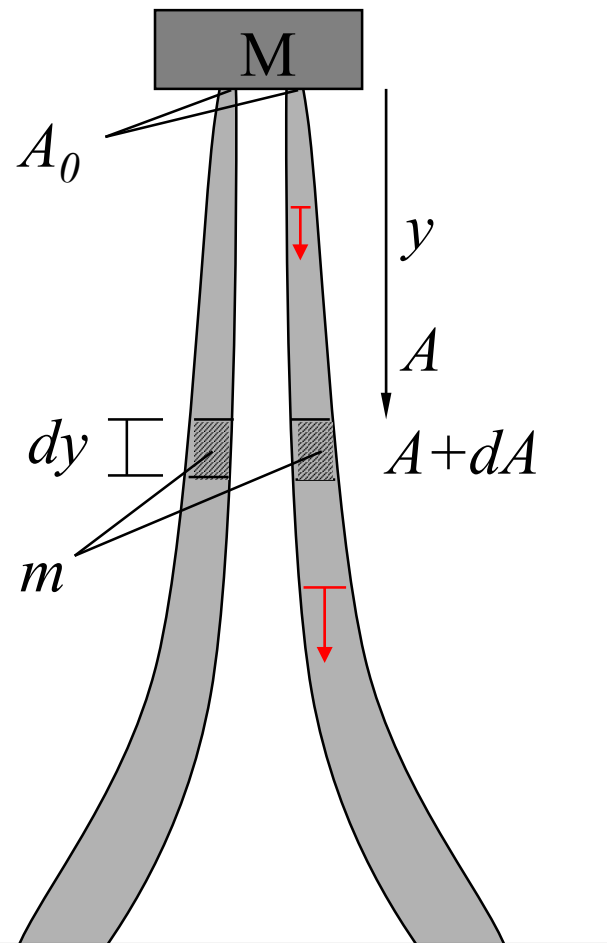
$$S = \frac{Mg}{\sigma_{admi} - \rho g L}$$



*Si accélération en plus (ascenseur)*

$$a_{Total} = g + a_{accélération}$$

# Solides d'égale résistance



?

$$A = f(y)$$

pour obtenir une  $\sigma$  constante pour tout point de la tour

L'augmentation  $dA$  doit équilibrer le supplément de charge dû à l'élément  $m$  de hauteur  $dy$

$$\sigma \cdot dA = \rho g A dy$$

$$\frac{dA}{A} = \frac{\rho g}{\sigma} dy \xrightarrow{\text{Intégration}} A = C \cdot e^{\frac{\rho g}{\sigma} y}$$

$$\text{en } y = 0 \text{ on a } A = A_0 = \text{Cste} = \frac{Mg}{\sigma}$$

$$A = \frac{Mg}{\sigma} e^{\frac{\rho g}{\sigma} y}$$

# Traction et compression

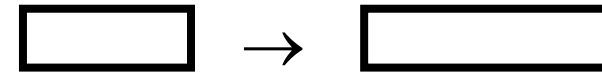
engendrées par des causes indirectes

1. Tensions dues à une variation de température
2. Tensions dues à une force centrifuge
3. Effets d'une pression interne
  - Récipients à parois minces
  - Récipients fermés à parois minces

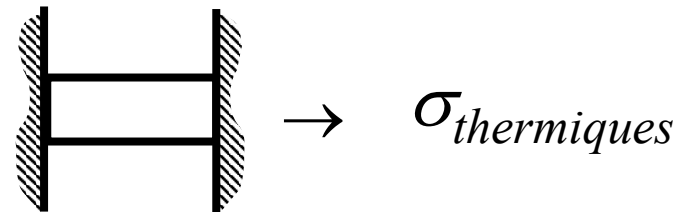
# Dilatation thermique

- *Effet thermique*

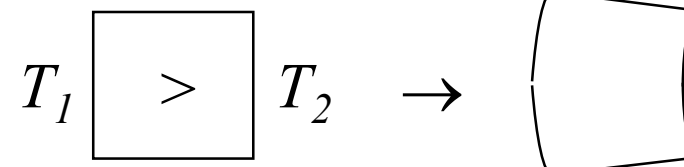
$$\Delta L = L \cdot \alpha \cdot \Delta T$$



- *Dilatation bloquée*



- *Dilatation générée*



$$\alpha_{acier} = 12,1 \cdot 10^{-6} /^\circ C$$

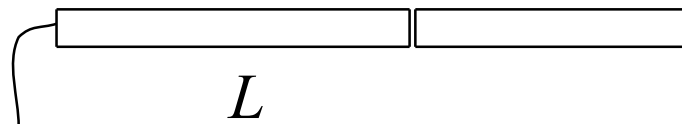
$$\alpha_{Al} = 23,7 \cdot 10^{-6} /^\circ C$$

[matweb.com](http://matweb.com)

# Exo: Rails soudés

*Calculer la force nécessaire pour compenser celle induite par la dilatation thermique de rails.*

$$\alpha_{acier} = 12,1 \times 10^{-6} /{^\circ}C$$



$$S = 75 \text{ cm}^2$$

$$\Delta T = 50 \text{ } {^\circ}C$$

$$E = 210 \text{ GPa}$$

$$\left. \begin{aligned} \Delta T \Rightarrow \Delta L &= L \cdot \alpha \cdot \Delta T \\ F \Rightarrow \Delta L &= \frac{\sigma}{E} \cdot L \end{aligned} \right\} L \cdot \alpha \cdot \Delta T = \frac{\sigma}{E} \cdot L \Rightarrow \sigma = \alpha \cdot \Delta T \cdot E = 127 \text{ MPa} = \frac{F}{S}$$

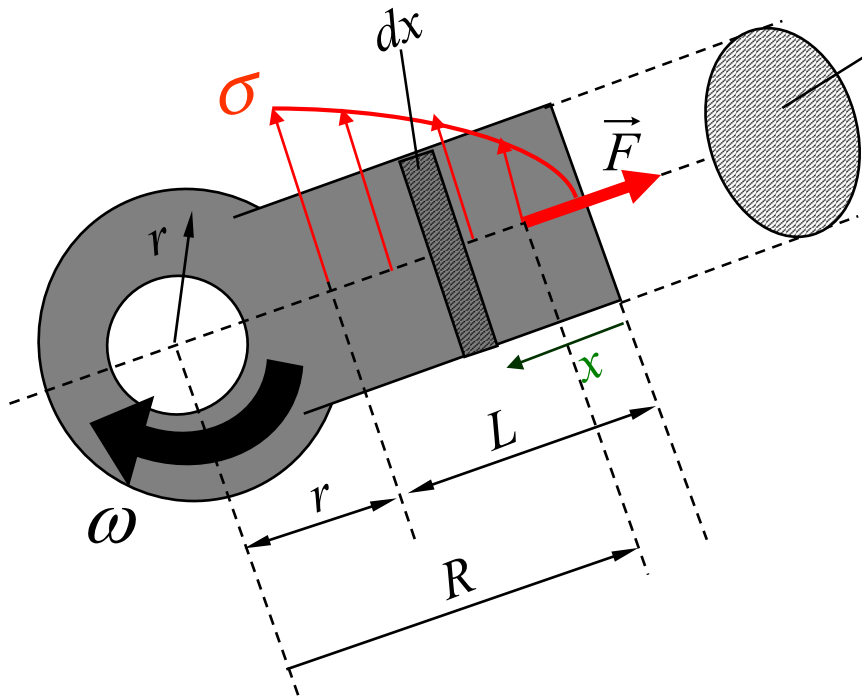
$$F = \sigma \cdot S = 952 \text{ N}$$

↑

*La force est élevée, les traverses empêchent le flambage des rails et maintiennent leur alignement*

# Tensions dues à une force centrifuge

10



$A$  est constante sur  $L$  H

a) Calcul de la contrainte

$$R = r + L - \frac{x}{2}$$

$$m = \rho \cdot A \cdot x$$

$$\text{Force Centrifuge } \vec{F} = m \cdot \omega^2 R$$

$$F = \rho \cdot A \cdot \omega^2 \left( r + L - \frac{x}{2} \right) \cdot x$$

$$\boxed{\sigma_x = \frac{F}{A} = \rho \cdot \omega^2 \left( r + L - \frac{x}{2} \right) \cdot x}$$

$$\sigma_{\max} \text{ pour } x = L, \quad \sigma_L = \rho L \omega^2 \left( r + \frac{L}{2} \right)$$

## b) Calcul de l'allongement

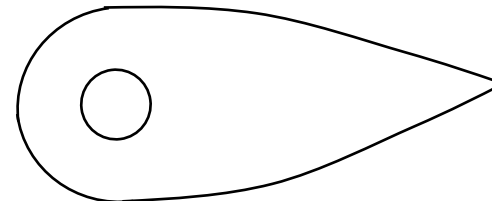
L'allongement de  $dx$  sera

$$d\lambda = \frac{\sigma_x}{E} \cdot dx$$

en substituant  $\sigma_x$  et en intégrant de  $x=0$  à  $x=L$

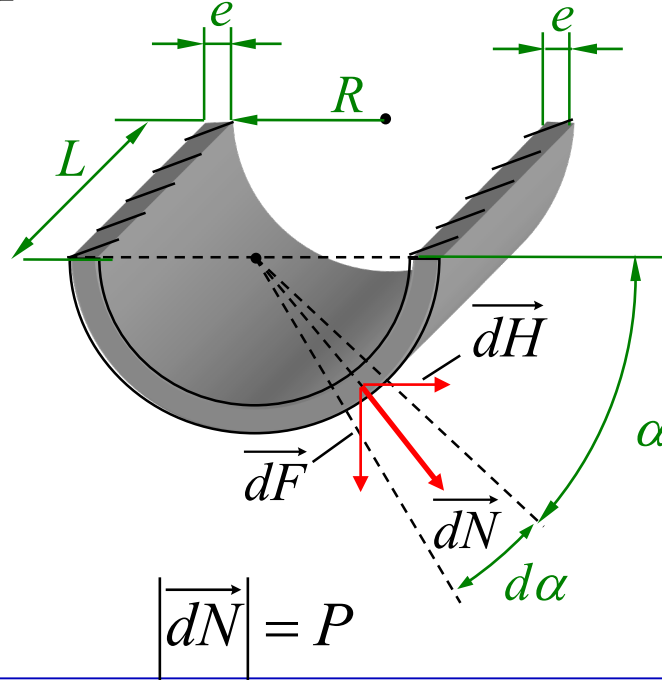
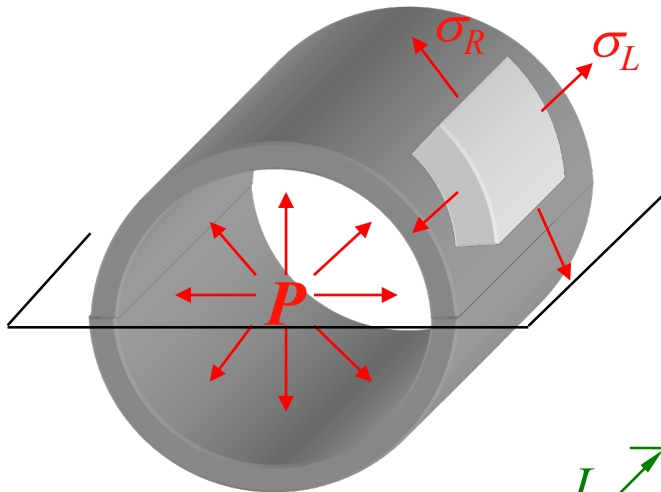
$$\lambda = \frac{\rho(\omega L)^2}{E} \left( \frac{r}{2} + \frac{L}{3} \right)$$

On peut également concevoir la pièce avec une section d'égale résistance à la force centrifuge



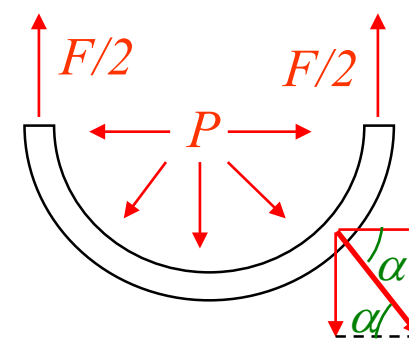
# Effets d'une pression interne

- récipients à parois minces



(H)

- Le parois sont fines ;  $e$  petit  $\ll L, R$
- $\sigma$  sont constantes sur  $e$



A diagram of a vessel end showing internal pressure  $P$ .

$$\sigma_R = \frac{P \cdot R}{e}$$

$\sigma_{radiale}$   
 $\sigma_{circonférentielle}$

$$\Rightarrow \sum F_x = 0 \quad \overrightarrow{dH} \quad \text{s'anulent deux à deux}$$

$$\Rightarrow \sum F_y = 0 \quad \overrightarrow{dF} = \overrightarrow{dN} \cdot \sin \alpha = p \cdot \sin \alpha \cdot R d\alpha \cdot L$$

*pression . surface = force*

$$F = pRL \int_0^{\pi} \sin \alpha d\alpha = pRL [-\cos \alpha]_0^{\pi}$$

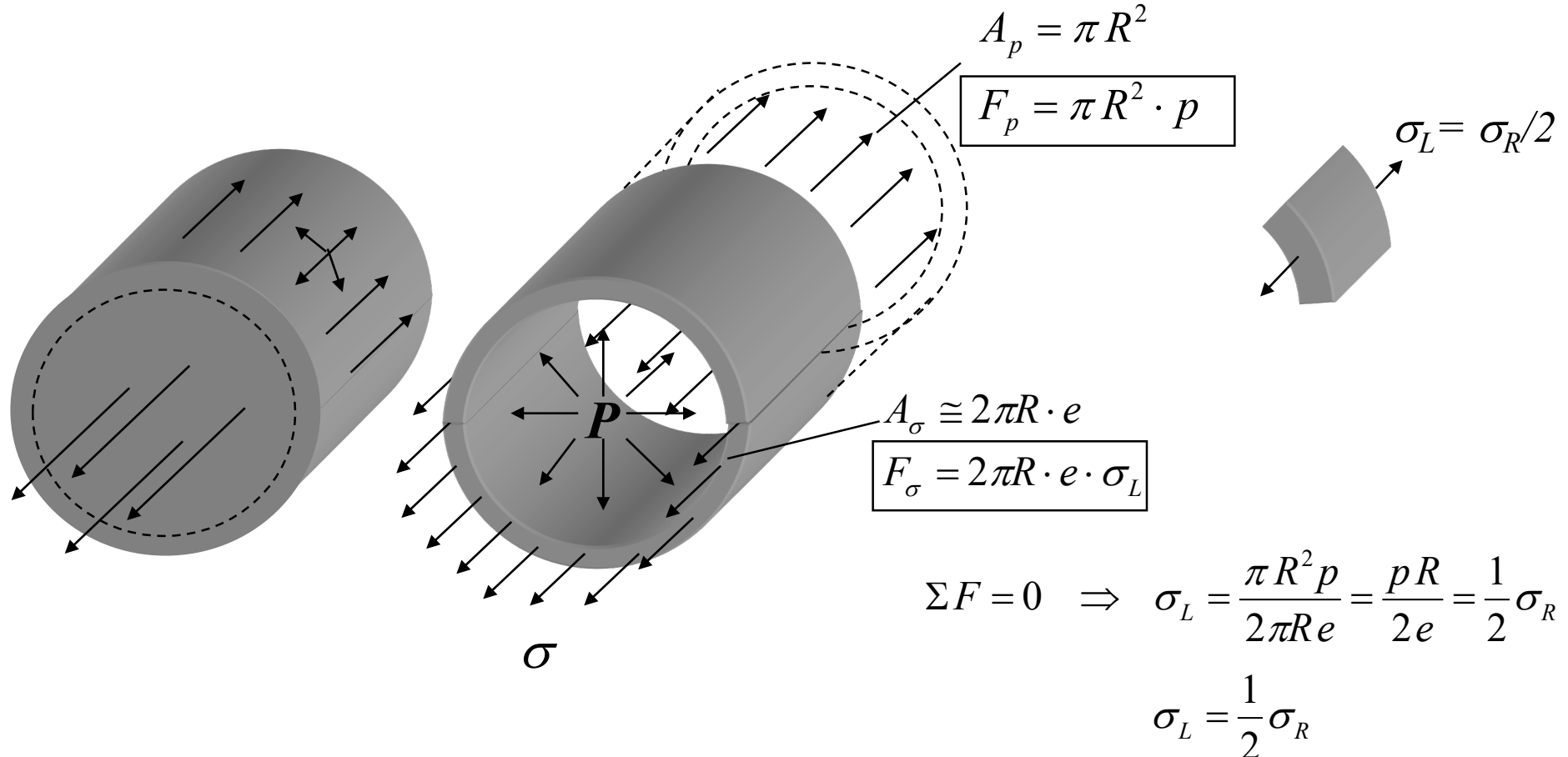
$$F = 2pRL$$

$$\sigma_R = \frac{F}{Section} = \frac{2pRL}{2eL} = \frac{pR}{e} = \frac{pD}{2e}$$

# Effets d'une pression interne

14

- récipients fermés à parois minces



# Systèmes hyperstatiques

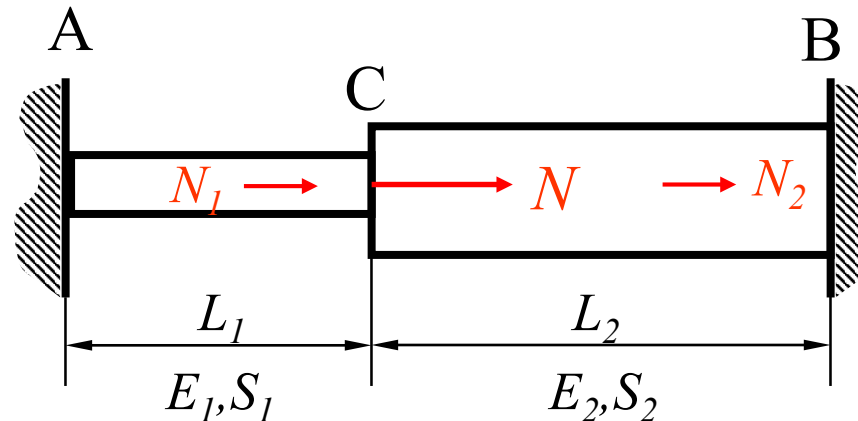
15

- *systèmes isostatiques* : lorsque les composantes inconnues des éléments de réduction des torseurs d'actions mécaniques qui lui sont appliquées peuvent être déterminées à partir des seules équations d'équilibre
- *systèmes hyperstatiques* : ses liaisons avec l'extérieur sont plus nombreuses que les liaisons strictement nécessaires pour assurer l'équilibre statique; l'examen des conditions de déformation est nécessaire pour calculer les réactions dues aux liaisons surabondantes

# Systèmes hyperstatiques simples I

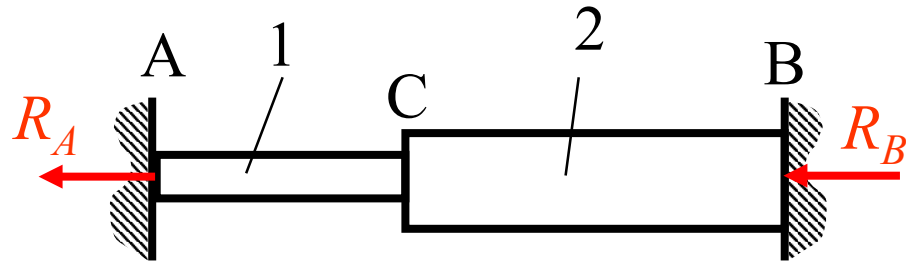
16

Une force  $N$  est appliquée en C , calculer  $N_1$  et  $N_2$  dans les deux barres, les réactions en A et B et le déplacement  $\delta_C$  du point C



# Systèmes hyperstatiques simples I

17



- Equilibre statique:  $N = N_1 + N_2$

(1)

(Il est évident que:  $R_A = N_1$  et  $R_B = N_2$ )

- 2 inconnues  $N_1, N_2$
- 1 équation (statique)

$\Rightarrow$  Système hyperstatique d'ordre 1



*2ème équation*  $\Rightarrow$  Condition de déformation

$$\bullet \delta_C = \frac{N_1 L_1}{E_1 S_1} = \frac{N_2 L_2}{E_2 S_2}$$

Allongement de AC      Raccourcissement de CB

(2)

$$\bullet N = N_1 + N_2$$

$$N_1 = N \frac{L_2}{\alpha L_1 + L_2} = R_A$$

$$N_2 = N \frac{\alpha L_1}{\alpha L_1 + L_2} = R_B$$

$$\alpha = \frac{E_2 S_2}{E_1 S_1}$$

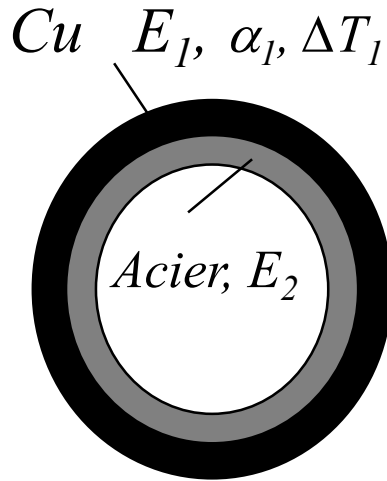
$$\delta_C = N \frac{L_1 L_2}{(\alpha L_1 + L_2) E_1 S_1}$$

# Exo: Sertissage à chaud

$\Delta T$  pour appliquer une pression de serrage

Un tube en Cuivre est serti à chaud sur un tube en acier. Le Cu est à  $\Delta T$  plus chaud que l'acier.  
Calculer:

- Les  $\sigma$  dans le Cu et l'acier
- La pression entre les 2 tubes
- Le raccourcissement du rayon commun après refroidissement du Cu



$$E_1 = 1,17 \text{ Mbar}$$

$$\alpha_1 = 16,6 \times 10^{-6} / ^\circ C$$

$$\Delta T = 100^\circ C$$

$$E_2 = 2,1 \text{ Mbar}$$

$$R = 10 \text{ cm}$$

$$e_1 = 0,5 \text{ cm} \quad e_2 = 1 \text{ cm}$$

$$\sigma_1 = 3040 \text{ bar} = 304 \text{ MPa}$$

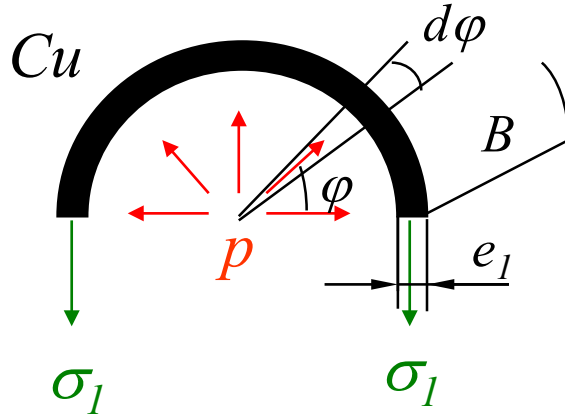
$$\sigma_2 = 1520 \text{ bar}$$

$$p = 152 \text{ bar}$$

$$\varepsilon = 0,72\%$$

(H) Anneaux minces  $\Rightarrow$  rayons  $\approx R$

$\Rightarrow \sigma$  est constante sur leur épaisseur



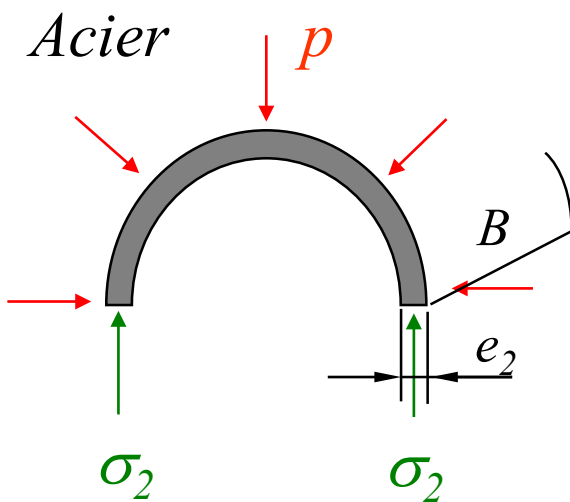
$\Delta T$  et pression de serrage provoque  $\sigma_1$  en traction dans le Cu

$$\text{Equilibre 1: } 2 \cdot \sigma_1 \cdot B \cdot e_1 = 2 \int_0^{\pi/2} \sin \varphi p dS = 2 p R B \int_0^{\pi/2} \sin \varphi d\varphi = 2 p R B \quad (1)$$

$$\text{Equilibre 2: } 2 \cdot \sigma_2 \cdot B \cdot e_2 = 2 p R B \quad (2)$$

- 3 inconnues  $\sigma_1, \sigma_2, p$
- 2 équations

$\Rightarrow$  Système hyperstatique d'ordre 1



3ème équation: Condition de déformation:

*Le raccourcissement de l'anneau de Cu est égal à celui de l'acier*

(3)

$$2 \pi \Delta R = \underbrace{2 \pi R \alpha_1 \Delta T}_{Cu} - \underbrace{2 \pi R \frac{\sigma_1}{E_1}}_{Cu} = \underbrace{2 \pi R \frac{\sigma_2}{E_2}}_{Acier}$$

$$\left. \begin{array}{l} 1 \quad \sigma_1 = \frac{pR}{e_1} \\ 2 \quad \sigma_2 = \frac{pR}{e_2} \\ 3 \quad \alpha_1 \Delta T - \frac{\sigma_1}{E_1} = \frac{\sigma_2}{E_2} \end{array} \right\}$$

Résolution avec  $\lambda = \frac{e_2 E_2}{e_1 E_1}$

$$\sigma_1 = \frac{\lambda}{1 + \lambda} \Delta T \alpha_1 E_1$$

$$\sigma_2 = \frac{1}{1 + \lambda} \Delta T \alpha_1 E_2$$

$$\frac{\sigma_1}{\sigma_2} = \frac{\varepsilon_2}{\varepsilon_1}$$

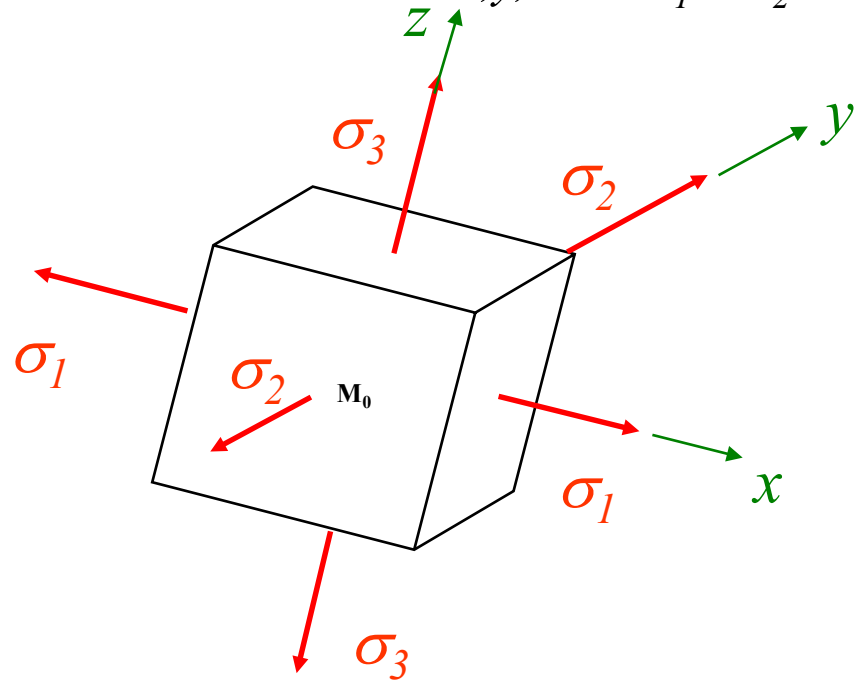
$$p = \sigma_1 \frac{e_1}{R} = \sigma_2 \frac{e_2}{R}$$

$$\varepsilon = \frac{\Delta R}{R} = \frac{1}{1 + \lambda} \Delta T \alpha_1$$

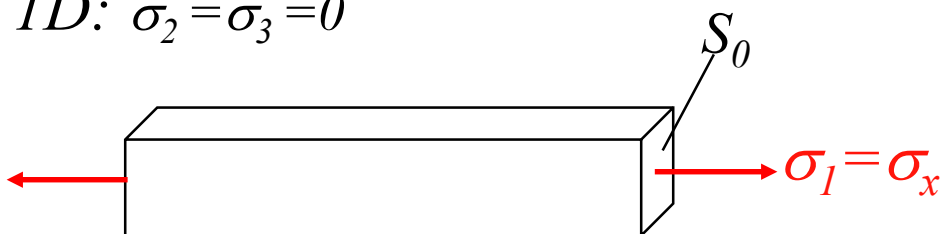
- ! Remarque:
- Risque de flambage de l'anneau comprimé
  - Si l'anneau d'acier n'existe pas  $e_2=0 \Rightarrow \lambda=0$   
le raccourcissement relatif du rayon serait  $\varepsilon'=3,3\%$  ;  $\varepsilon/\varepsilon'=0,22$

# Etats de contraintes

3D: Choix des axes  $x, y, z$  et  $\sigma_1 > \sigma_2 > \sigma_3$



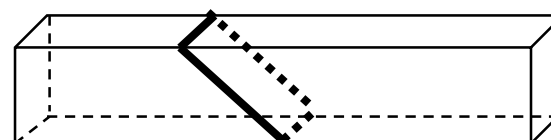
1D:  $\sigma_2 = \sigma_3 = 0$



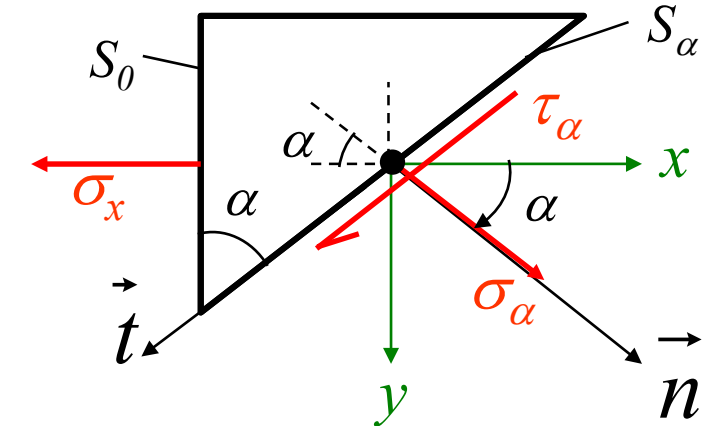
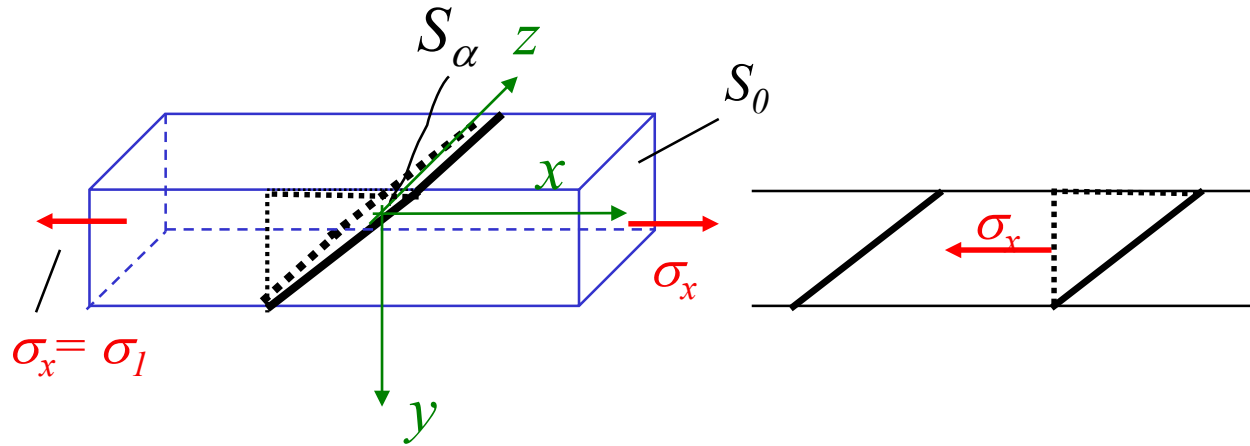
- $\exists$  faisceau de  $\vec{\sigma}$  autour de  $M_0$
- $\exists$  toujours au moins 3 plans (principaux) normaux sur lesquels les  $\tau = 0$  et  $\sigma$  sont extrêmes

« L'étude des contraintes consiste à déterminer l'effet des efforts en  $M_0$  sur une facette de direction quelconque »

*Exp: Quelles sont les contraintes sur une soudure inclinée ?*



# Etats de contraintes



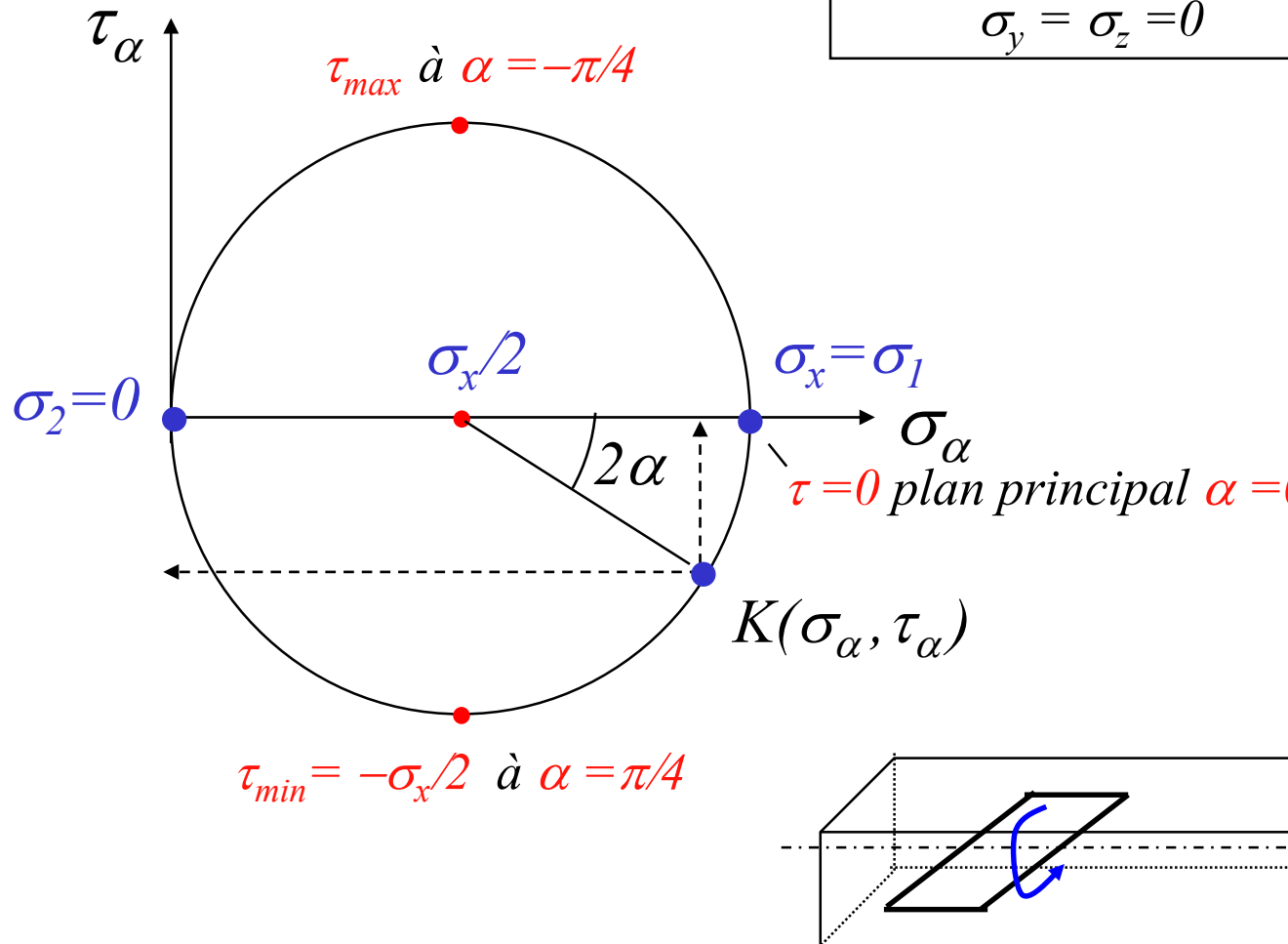
$$\begin{cases} \sum F_n = 0 \Rightarrow \sigma_\alpha S_\alpha - \sigma_x \cos \alpha \cdot S_0 = 0 \\ \sum F_t = 0 \Rightarrow \tau_\alpha S_\alpha + \sigma_x \sin \alpha \cdot S_0 = 0 \end{cases} \Rightarrow \text{avec } S_0 = S_\alpha \cos \alpha \Rightarrow \begin{cases} \sigma_\alpha = \sigma_x \cos^2 \alpha \\ \tau_\alpha = -\sigma_x \sin \alpha \cos \alpha \end{cases}$$

avec  $2\alpha$  on a

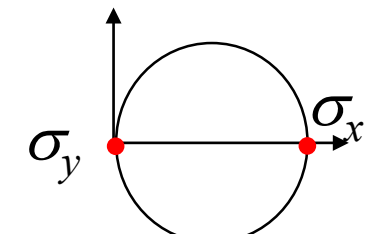
$$\begin{cases} \sigma_\alpha = \frac{\sigma_x}{2} (1 + \cos 2\alpha) \\ \tau_\alpha = -\frac{\sigma_x}{2} \sin 2\alpha \end{cases} \Rightarrow \text{Equation paramétrique d'un cercle en } \frac{\sigma_x}{2} \text{ et rayon } \frac{\sigma_x}{2}$$

# Cercle de Mohr

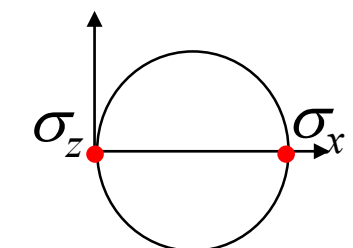
23



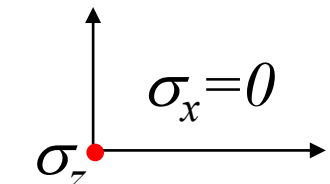
Autour de l'axe  $M_{0.z}$

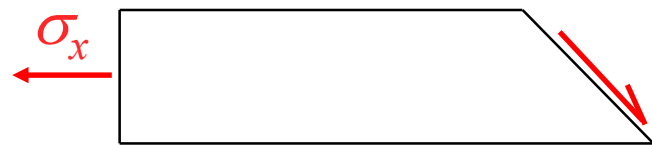


Autour de l'axe  $M_{0.y}$

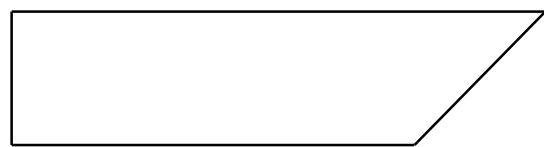


Autour de l'axe  $M_{0.x}$

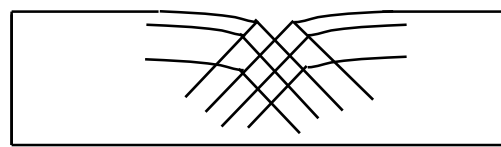




$$\tau_{\max} = \frac{\sigma_x}{2}$$



$$\tau_{\min}$$



### Lignes de Lueder

*Les  $\tau$  induisent des écoulements plastiques dans les matériaux ductiles même si  $\tau = \sigma/2$*



### Faciès de rupture

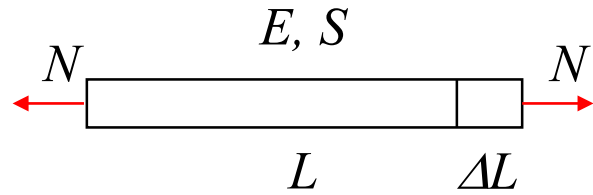
Plans à  $\pm 45^\circ$

# Energie de déformation

25

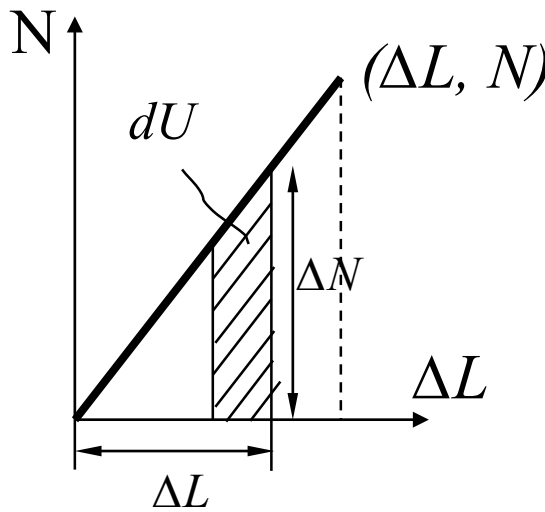
Energie accumulée par le solide sous traction/ compression  $\propto$  Travail de la force extérieure N

(H): Elasticité



$\Rightarrow$  Energie rendue si  $N_{ext} = N_{initiale}$

si vitesse lente et donc effets dynamiques internes sont négligeables



$$\left. \begin{aligned} U &= \int_0^L dU = \int_0^L N \cdot d(\Delta L) \\ Hooke \quad N &= S \cdot E \cdot \frac{\Delta L}{L} \end{aligned} \right\} U = \frac{E \cdot S}{L} \int_0^L \Delta L \cdot d(\Delta L) = \frac{E \cdot S}{2L} \Delta L^2 \Rightarrow U = \frac{1}{2} N \cdot \Delta L$$

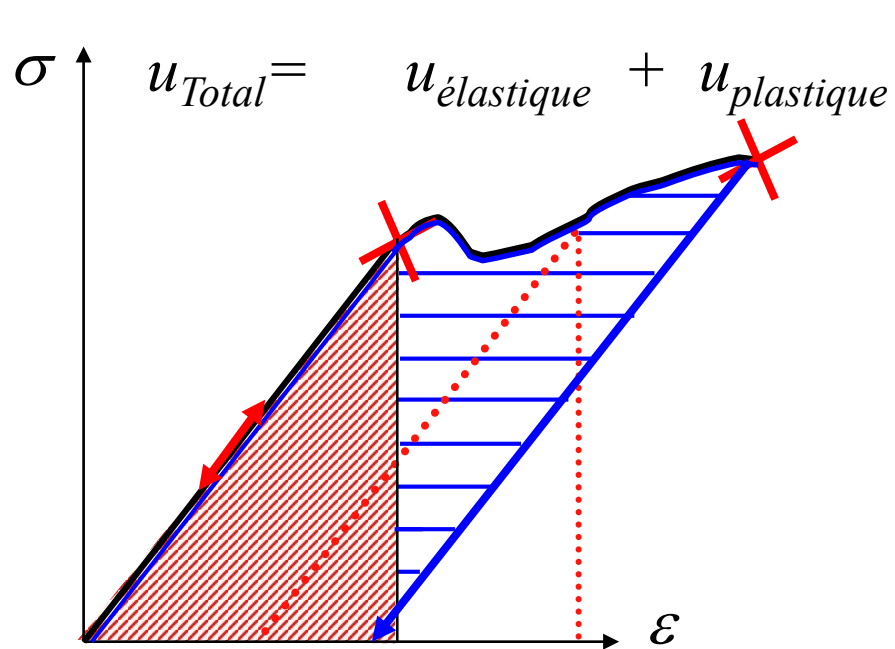
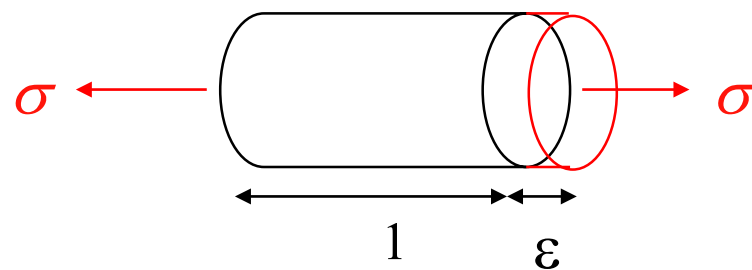
Rem: Si N ou la section S varie le long de la poutre

$$dU = \frac{N^2}{2ES} dx$$

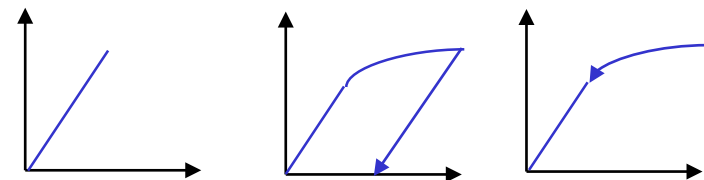
# Densité d'énergie

26

$u$  = énergie par unité de volume  
[J/m<sup>3</sup>]

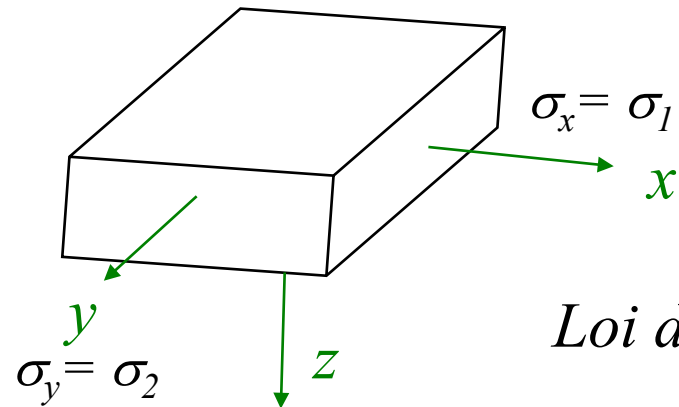


$$u = \frac{1}{2} \sigma \varepsilon = \frac{1}{2} \varepsilon^2 E = \frac{1}{2} \frac{\sigma^2}{E}$$



# Etat de contraintes bidimensionnelles

28



Bidimensionnel =

Contraintes planes  $\sigma_z = \sigma_3 = 0$

*Loi de proportionnalité → principe de superposition*

- Chaque contrainte entraîne la même déformation que si elle était seule et la déformation résultante est la somme des déformations partielles

$$\left. \begin{aligned} \varepsilon_x &= \frac{\sigma_x}{E} - \nu \frac{\sigma_y}{E} \\ \varepsilon_y &= \frac{\sigma_y}{E} - \nu \frac{\sigma_x}{E} \end{aligned} \right\} [1]$$

$$\varepsilon_z = -\nu \frac{\sigma_x}{E} - \nu \frac{\sigma_y}{E}$$

# Etat de contraintes bidimensionnelles

29

- ⚠ *Principe de superposition n'est pas applicable pour les énergies*

$$\begin{aligned} u &= \frac{1}{2}\sigma_x \varepsilon_x + \frac{1}{2}\sigma_y \varepsilon_y & [1] \\ u &= \frac{1}{E} \left( \frac{\sigma_x^2}{2} + \frac{\sigma_y^2}{2} - \nu \sigma_x \sigma_y \right) \end{aligned}$$

- Variation relative du volume*

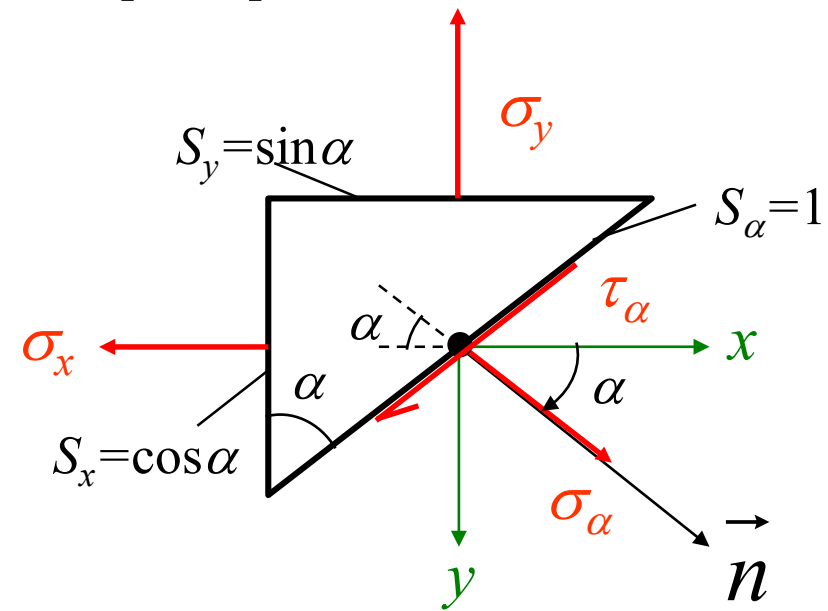
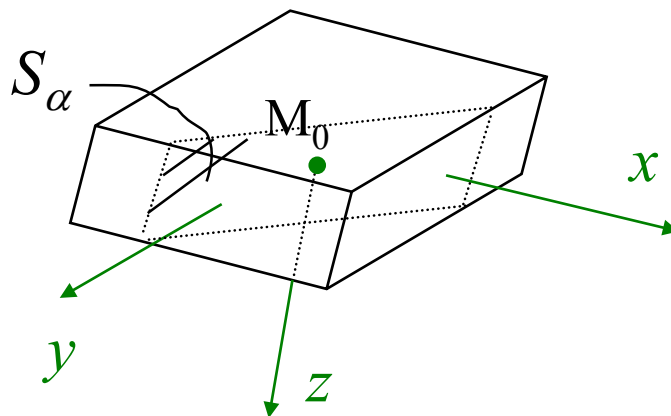
$$V = \varepsilon_x + \varepsilon_y + \varepsilon_z$$

$$V = \frac{\sigma_x + \sigma_y}{E} (1 - 2\nu)$$

# Etat de contraintes bidimensionnelles

30

a) Les axes de référence coïncident avec les axes principaux

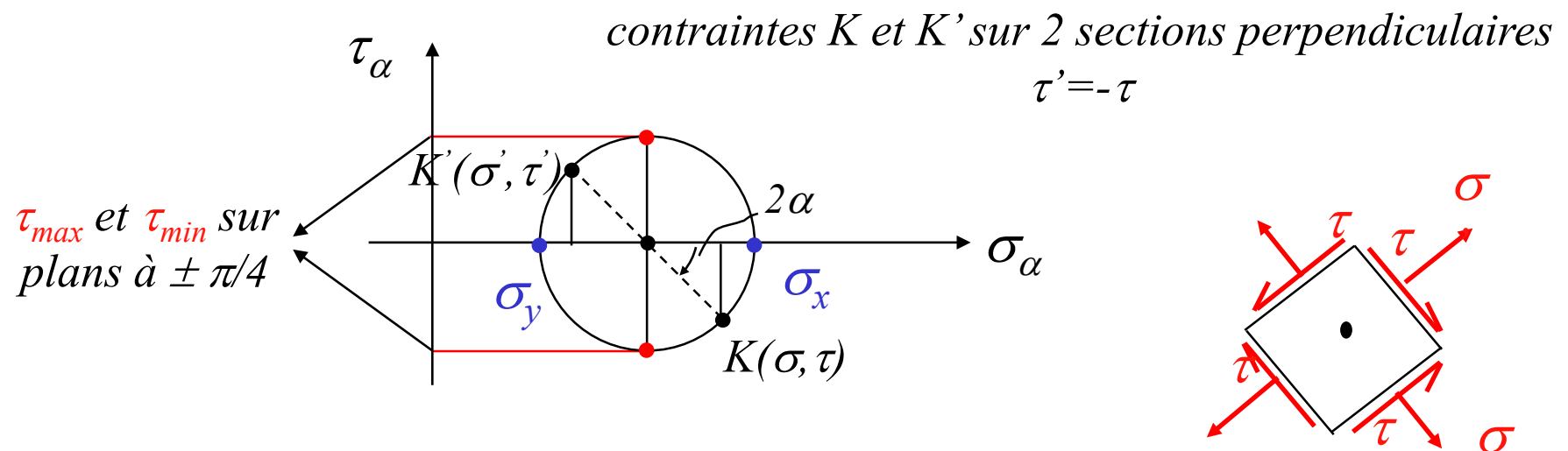


$$\Sigma F \rightarrow \begin{cases} \sigma_\alpha \underbrace{S_\alpha}_{=1} - \sigma_x \cos^2 \alpha - \sigma_y \sin^2 \alpha = 0 \\ \tau_\alpha \underbrace{S_\alpha}_{=1} + \sigma_x \sin \alpha \cos \alpha - \sigma_y \cos \alpha \sin \alpha = 0 \end{cases} \Rightarrow \begin{cases} \sigma_\alpha = \sigma_x \cos^2 \alpha + \sigma_y \sin^2 \alpha \\ \tau_\alpha = -(\sigma_x - \sigma_y) \sin \alpha \cos \alpha \end{cases}$$

en introduisant  $2\alpha$

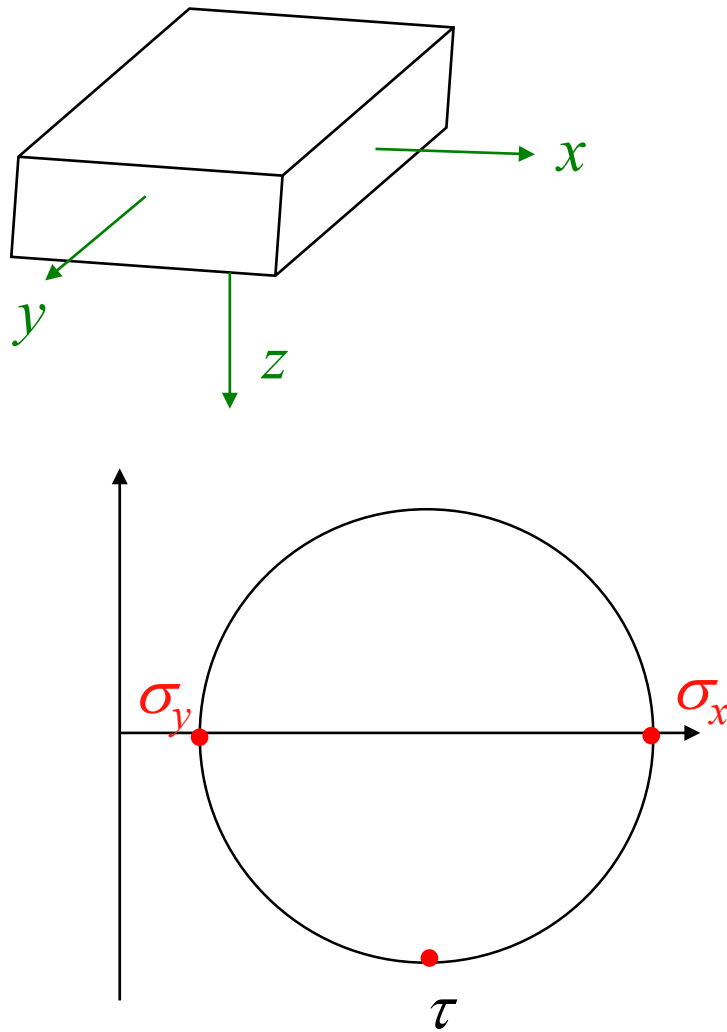
$$\begin{cases} \sigma_\alpha = \frac{\sigma_x + \sigma_y}{2} + \frac{\sigma_x - \sigma_y}{2} \cos 2\alpha \\ \tau_\alpha = -\frac{\sigma_x - \sigma_y}{2} \sin 2\alpha \end{cases}$$

$\equiv$  cercle entre  $\sigma_x$  et  $\sigma_y$

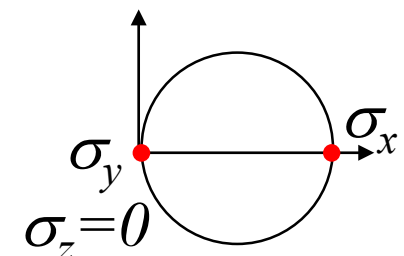
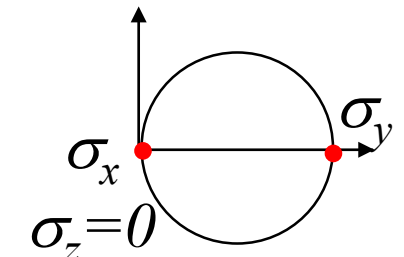
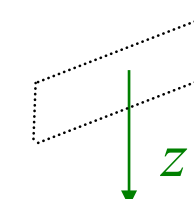
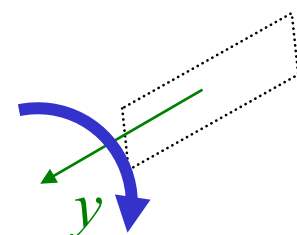
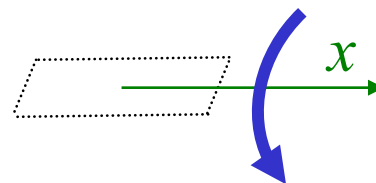


# Cercle de Mohr

32



*Bidimensionnel*  
 $\sigma_z = 0$



$$\sigma_x = \sigma_1$$

## *Contraintes principales*

$$\sigma_y = \sigma_2$$

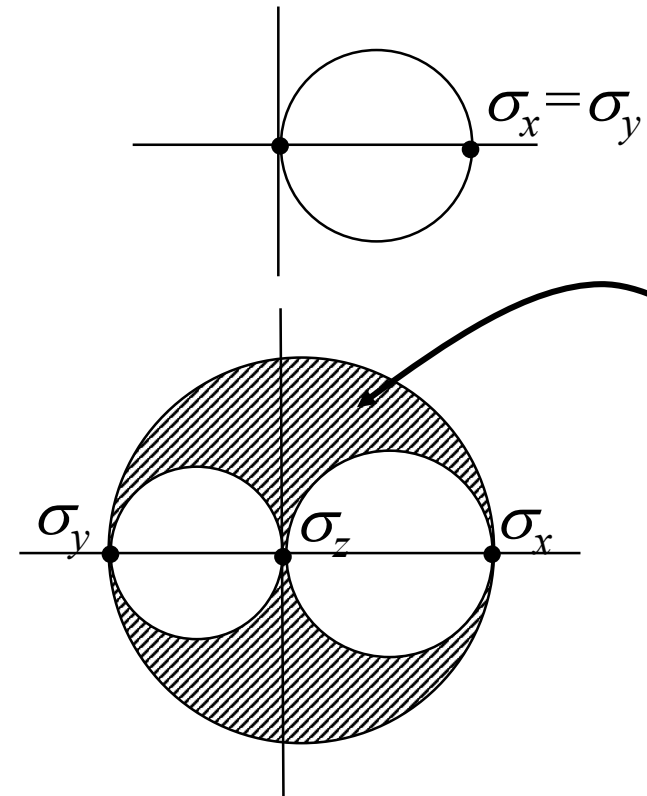
$$\sigma_1 > \sigma_2 > \sigma_3$$

$$\sigma_z = \sigma_3 = 0$$

$$\sigma_x = \sigma_y$$

$$\sigma_x > 0$$

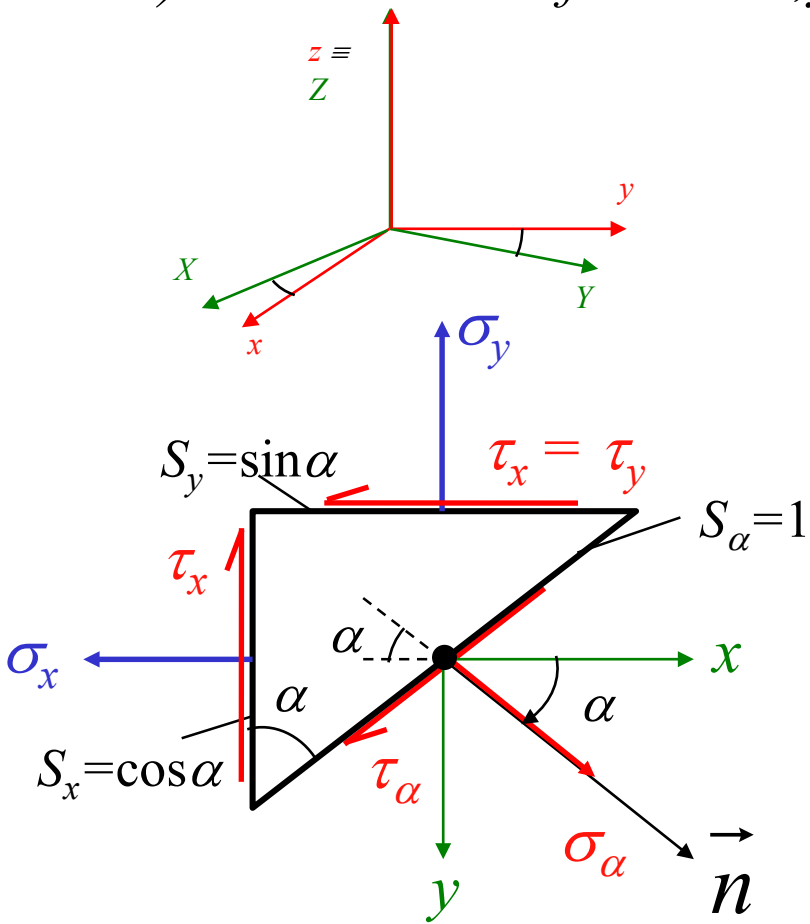
$$\sigma_y < 0$$



*État de contraintes pour une section tournant autour d'un axe autre que les axes principaux*

b) Les axes de référence  $x,y,z$  sont différents des axes principaux  $X,Y,Z$

34



$$\Sigma F = 0 \quad \begin{cases} \bullet \sigma_\alpha 1 - \sigma_x \cos^2 \alpha - \sigma_y \sin^2 \alpha - \tau_x \cos \alpha \sin \alpha - \tau_x \sin \alpha \cos \alpha = 0 \\ \bullet \tau_\alpha + \sigma_x \sin \alpha \cos \alpha - \sigma_y \cos \alpha \sin \alpha - \tau_x \cos^2 \alpha + \tau_x \sin^2 \alpha = 0 \end{cases}$$

$$\text{Trigo} \Rightarrow \sin \alpha \cos \alpha = \frac{\sin 2\alpha}{2}$$

$$\sin^2 \alpha = \frac{1 - \cos 2\alpha}{2}$$

$$\cos^2 \alpha = \frac{1 + \cos 2\alpha}{2}$$

$$\sigma_\alpha = \frac{\sigma_x + \sigma_y}{2} + \frac{\sigma_x - \sigma_y}{2} \cos 2\alpha + \tau_x \sin 2\alpha \quad (1)$$

$$\tau_\alpha = -\frac{\sigma_x - \sigma_y}{2} \sin 2\alpha + \tau_x \cos 2\alpha \quad (2)$$

- La seule variable est  $\alpha$
- Les valeurs de  $\alpha$  correspondant à  $\sigma_{max} = \sigma_1$  et  $\sigma_{min} = \sigma_2$  sont obtenues avec....

$$\frac{d\sigma_\alpha}{d\alpha} = 0 \quad \Rightarrow \quad -2 \frac{\sigma_x - \sigma_y}{2} \sin 2\alpha + 2 \tau_x \cos 2\alpha = 0 \quad (3)$$

$$\tau_\alpha = -\frac{\sigma_x - \sigma_y}{2} \sin 2\alpha + \tau_x \cos 2\alpha \quad (2)$$

}

$$\tau_\alpha = 0$$

Résolution de (3)

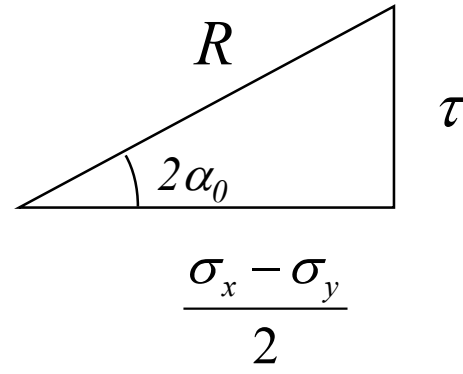
$$\tan 2\alpha = \frac{2\tau_x}{\sigma_x - \sigma_y}$$

(4)

- $\alpha$  varie de  $0$  à  $180^\circ$
- $2\alpha$  varie de  $0$  à  $360^\circ \Rightarrow$  2 solutions à (4) ( $2\alpha_0$  et  $2\alpha_0 + 180^\circ$ )

On détermine  $\sigma_1$  et  $\sigma_2$  en remplaçant dans (1)  $\alpha$  par  $\alpha_0$  et  $\alpha_0 + 90^\circ$  ou en utilisant le cercle de Mohr

$\sigma_1$  et  $\sigma_2$  en fonction de  $\sigma_x$ ,  $\sigma_y$ ,  $\tau$



$$R = \sqrt{\left(\frac{\sigma_x - \sigma_y}{2}\right)^2 + \tau^2}$$

$$\cos 2\alpha_0 = \frac{\left(\frac{\sigma_x - \sigma_y}{2}\right)}{R}$$

$$\sin 2\alpha_0 = \frac{\tau}{R}$$

pour  $2\alpha_0 + 180^\circ \rightarrow \cos(2\alpha_0 + 180^\circ) = -\cos 2\alpha_0$   
 $\sin(2\alpha_0 + 180^\circ) = -\sin 2\alpha_0$

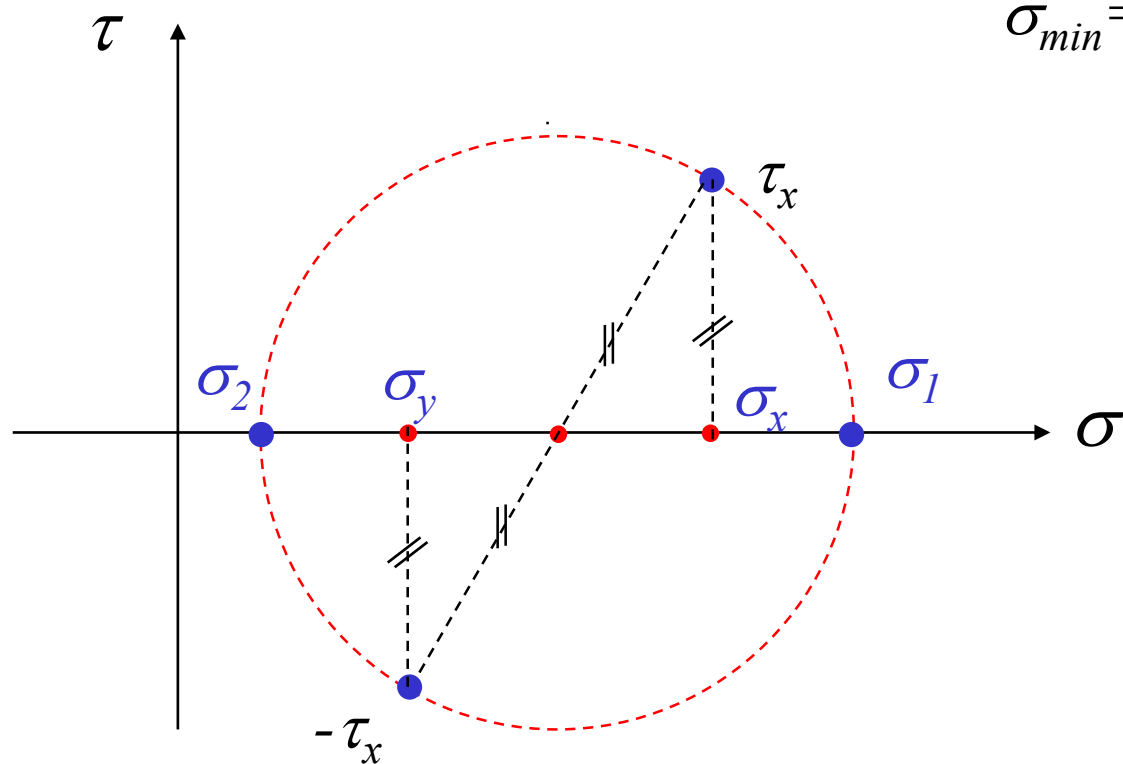
$$\rightarrow \sigma_1 \quad ou \quad \sigma_2 = \frac{\sigma_x + \sigma_y}{2} \pm \frac{\sqrt{\left(\frac{\sigma_x - \sigma_y}{2}\right)^2 + \tau^2}}{\sqrt{\left(\frac{\sigma_x - \sigma_y}{2}\right)^2 + \tau^2}}$$

$$\begin{cases} \sigma_1 = \frac{\sigma_x + \sigma_y}{2} + R \\ \sigma_2 = \frac{\sigma_x + \sigma_y}{2} - R \end{cases}$$

*Cercle fondamental lorsque  $\sigma_x > \sigma_y > 0$  qui entraîne*

$$\sigma_{max} = \sigma_1$$

$$\sigma_{min} = \sigma_2$$



# En pratique

1. Détermination de  $(\sigma_x, \tau_x) \rightarrow K_x$

et  $(\sigma_y, -\tau_x) \rightarrow K_y$

Sur 2 faces  $\perp$  à  $S_x, S_y$  passant par  $M_0 z$

2. Construire  $K_x, K_y$  cercle de Mohr

3. // à  $S_x$  qui passe par  $K_x$

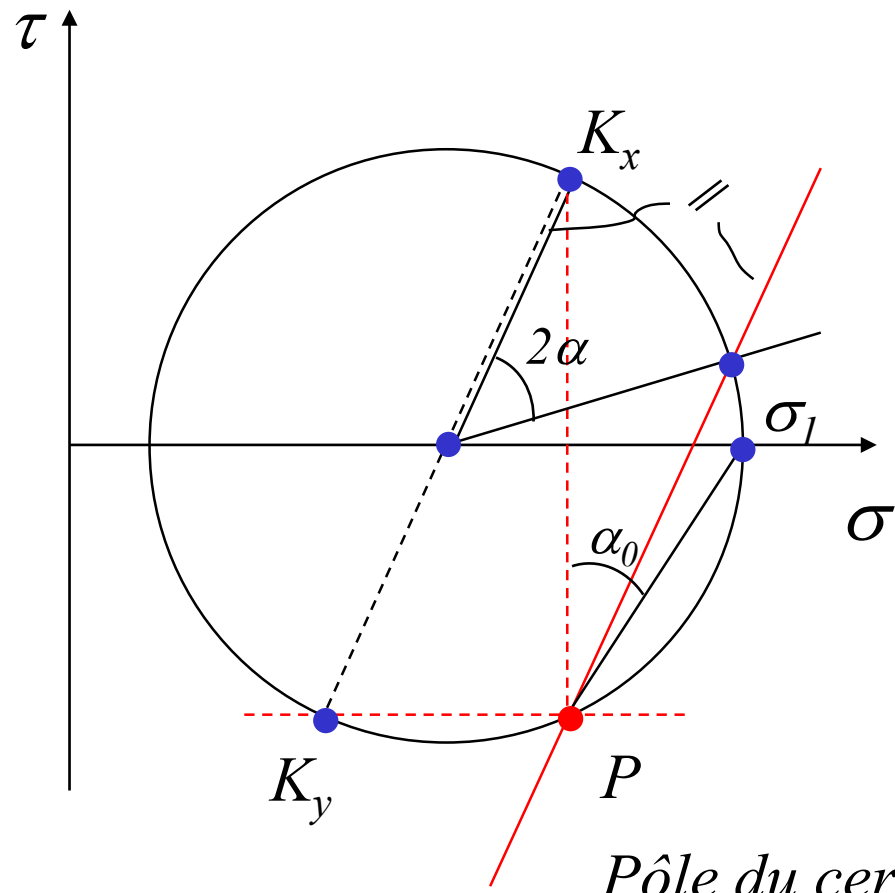
// à  $S_y$  qui passe par  $K_y$

} se coupent en P: le pole

4. // à  $K_x, K_y$  par P  $\Rightarrow 2\alpha, \alpha_0$

# Cercle fondamental, éllipse de Lamé

39



*Pôle du cercle de  
Mohr*